

того, чтобы процедура «квантования» квазиимпульса (2) не приводила к большой ошибке. Мы измерили зависимость частоты КМК от периметра круглого 2D-канала (рис. 2, 5). Затем были изготовлены образцы, в которых 2D-канал имел границу сложной формы, напоминающей шестеренку (рис. 2, нижняя вставка). Характерный размер «зуба» составлял ~ 0.5 мм, максимальный размер 2D-канала (диаметр описывающей окружности) был 4 мм, периметр ~ 20 мм. Результаты измерений на двух таких образцах показаны на рис. 2, 6. Видно, что частота КМК действительно определяется величиной периметра, а не формой 2D-канала. Сравнение экспериментальных данных с теоретическими зависимостями, рассчитанными по формулам (1) и (2) (с заменой ϵ на $(\epsilon+1)/2$), дает значение l в интервале 10—20 мкм (рис. 2). Вычисления [4] и экспериментальное значение l полностью определяют распределение поля в КМК для 2D-канала, находящегося на поверхности диэлектрика больших размеров.

В заключение отметим, что обнаруженный нами факт влияния формы подложки на характер распределения поля КМК в 2D-канале, по-видимому, можно объяснить следующим образом. Тонкая подложка существенно уменьшает поле вблизи края 2D-канала и незначительно в центральной части, делая тем самым КМК распределенным по 2D-каналу. Подложка в форме полупространства вообще не искаивает распределение поля в 2D-канале (а уменьшает его в $(\epsilon+1)/2$ раз), и КМК оказывается локализованным у края.

Авторы благодарны Д. Е. Хмельницкому и В. Б. Шикину за полезные обсуждения.

Список литературы

- [1] Говорков С. А., Резников М. И., Сеничкин А. П., Тальянский В. И. // Письма в ЖЭТФ. 1986. Т. 44. Вып. 7. С. 380—382.
- [2] Говорков С. А., Резников М. И., Медведев Б. К. и др. // Письма в ЖЭТФ. 1987. Т. 45. Вып. 5. С. 252—254.
- [3] Галченков Л. А., Гродненский И. М., Камаев А. Ю. // ФТП. 1987. Т. 21. Вып. 12. С. 2197—2200.
- [4] Волков В. А., Михайлов С. А. // Письма в ЖЭТФ. 1985. Т. 42. Вып. 11. С. 450—453.

Институт физики твердого тела
АН СССР
Черноголовка

Поступило в Редакцию
27 июля 1988 г.

01; 04

Журнал технической физики, т. 59, № 8, 1989

ИОНИЗАЦИОННО-ПЕРЕГРЕВНАЯ НЕУСТОЙЧИВОСТЬ В РЕКОМБИНИРУЮЩЕЙ ПЛАЗМЕ

А. Х. Мнацаканян, Г. В. Найдис

Одним из перспективных способов создания сильно неравновесной плазмы (для накачки газовых лазеров, для плазмохимических приложений и т. д.) является использование разряда, в котором процессы ионизации и накачки разнесены во времени. Короткий ионизующий импульс (самостоятельный разряд либо внешний источник ионизации) создает плазму, а затем в слабом электрическом поле на стадии рекомбинации заряженных частиц производится эперговклад. Устойчивость разряда постоянного тока в азоте на распадной фазе исследовалась численно в [1, 2], где, кроме прямой ионизации молекул электронным ударом, в расчетную модель включались ступенчатая ионизация (через возбужденное состояние $A^3\Sigma$), а также (при низких значениях приведенной напряженности поля E/N) ассоциативная ионизация при столкновении колебательно-возбужденных молекул. Известно, однако, что в несамостоятельных импульсных разрядах постоянного тока неустойчивость обычно зарождается в приэлектродных слоях с последующим прорастанием канала через разрядный промежуток [3]. В последнее время появились работы, в которых экспериментально исследовалась устойчивость несамостоятельного СВЧ разряда в азоте и воздухе как во время действия внешнего ионизатора [4], так и на распадной фазе [5]. В этом случае неустойчивость должна зарождаться в объеме газа, поэтому применение для ее описания локально-однородных моделей более оправдано.

В данной работе рассматривается развитие ионизационно-перегревной неустойчивости в рекомбинирующей плазме для условий [5] (характерные времена развития неустойчивости

$t_{\text{н}} = 10^{-5} - 10^{-4}$ с, значения $E_e/N \approx 5 - 8 \cdot 10^{-16}$ В·см², где E_e — эффективное поле, давление азота $p = 100 - 760$ Тор, начальные концентрации электронов $n_0 = 10^{11} - 10^{12}$ см⁻³. В этих условиях заселенности высоких колебательных уровней малы и ассоциативные процессы с их участием несущественны. По оценкам [6], не дает заметного вклада и ступенчатая ионизация через N_2 ($A^3 \Sigma$).¹ Роль процессов ионизации с участием молекул N_2 в состояниях $a^1\Pi$, $a'^1\Sigma$ в рассматриваемых условиях, по-видимому, также невелика, поскольку они сильно тушатся в столкновениях с нейтральными молекулами (что не было учтено при построении модели разряда в [5]).² Поэтому в уравнение баланса концентрации электронов включен только один процесс ионизации — прямая ионизация молекул электронным ударом, константа скорости которой принимается зависящей от E_e/N и от колебательной энергии молекул ϵ_V . Используется изобарическое приближение, что ограничивает сверху возможные размеры областей, в которых развивается неустойчивость (в рассматриваемом диапазоне времен это области размером ~ 1 см). Отметим, что процессы теплопроводности и диффузии в характерном диапазоне давлений, времен и размеров не могут стабилизировать развитие неустойчивости и поэтому не рассматриваются. Напряженность электрического поля E в плазме принимается постоянной во времени. Это приближение накладывает ограничение сверху на концентрации электронов $n < n_{\max} \approx m(\omega^2 + \nu_m^2)/4\pi e^2$, где ω и ν_m — частоты СВЧ поля и столкновений электронов с молекулами. Поскольку в рассматриваемых условиях $n_0 \ll \ll n_{\max}$, а неустойчивость развивается взрывным образом, то указанное приближение годится для расчета времен развития неустойчивости, хотя и не позволяет описать конечное состояние плазмы. Используется также условие $\omega \ll \nu_m$, что позволяет считать постоянным во времени и значение эффективного поля $E_e = E/(1 + \omega^2/\nu_m^2)^{1/2}$.

Пусть в момент времени $t=0$ в рекомбинирующую плазму с концентрацией электронов n_0 включается электрическое поле E . Для концентрации электронов n , плотности молекул N и колебательной энергии ϵ_V имеем систему уравнений

$$\begin{aligned} \frac{dn}{dt} &= W_0 \exp\{\gamma_T(1 - N/N_0) + \gamma_V \epsilon_V\} n - \beta n^2, \\ N^{-1} \frac{dN}{dt} &= -\psi_T n - \frac{\omega_V}{3.5kT} \frac{\epsilon_V}{\tau_{VT}}, \\ \frac{d\epsilon_V}{dt} &= \psi_V n - \frac{\epsilon_V}{\tau_{VT}}, \\ \psi_T &= \eta_T \frac{e^2 E_e^2}{3.5kT_0 N_0 m \nu_m}, \quad \psi_V = \eta_V \frac{e^2 B_e^2}{\omega_V N m \nu_m}, \end{aligned} \quad (1)$$

где β — коэффициент рекомбинации; ω_V — колебательный квант; T_0 и N_0 — начальные температура и плотность молекул; η_T и η_V — доли выделяемой в разряде энергии, идущие соответственно на нагрев газа и возбуждение колебаний; τ_{VT} — время колебательно-поступательной релаксации. Множитель $\exp\{\gamma_T(1 - N/N_0)\}$ учитывает зависимость частоты ионизации W от E_e/N . Зависимость W от колебательной энергии представлена в форме $\exp\{\gamma_V \epsilon_V\}$ [6], отвечающей условию $\epsilon_V \ll 1$.³

Система (1) упрощается в предельных случаях быстрой и медленной (по сравнению со временем развития неустойчивости $t_{\text{н}}$) колебательной релаксации. В обоих предельных случаях (1) можно привести к виду

$$\begin{aligned} \frac{dx}{dt} &= W_0 z x - \nu_0 x^2/q, \\ \frac{dz}{dt} &= \nu_0 z x, \end{aligned} \quad (2)$$

¹ Прямые измерения концентрации N_2 ($A^3 \Sigma$) [4] показали, что она значительно меньше рассчитанной для аналогичных условий в [7]. Различие связано, по-видимому, с использованием в [7] заниженного значения константы тушения при парных соударениях N_2 ($A^3 \Sigma$).

² Модель ионизации при парных соударениях двух метастабильных состояний с учетом их тушения тяжелыми частицами и зависимости константы возбуждения от E_e/N и ϵ_V дает время развития неустойчивости $t_{\text{н}} \sim n_0^{-1}$, что не соответствует эксперименту.

³ Решение (1) при замене времени пространственной производной, описывающее стационарный разряд в потоке газа, исследовалось в [8].

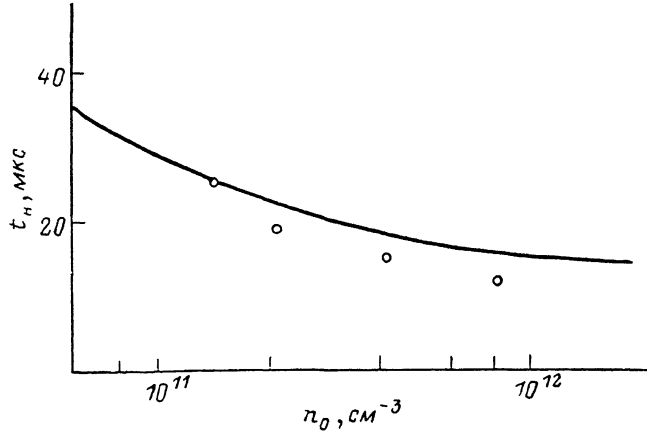
где $x \equiv n/n_0$, $v_0 = \beta q n_0$, величины z и q в предельных случаях $\tau_{vT} \ll t_n$ и $\tau_{vT} \gg t_n$ даются соответственно выражениями $z = \exp\{\gamma_T(1 - N/N_0)\}$, $\beta q = \gamma_T(\psi_T + \psi_v \omega_v / 3.5kT_0)$ и $z = \exp\{\gamma_T(1 - N/N_0) + \gamma_v \epsilon_v\}$, $\beta q = \gamma_T \psi_T + \gamma_v \psi_v$.

Решая (2), получим

$$x = \frac{1}{c+1} \{z + cz^{-1/q}\},$$

$$\int_{z^{-1}(t)}^1 \frac{dy}{1 + cy^{1+1/q}} = \frac{q}{b} W_0 t, \quad (3)$$

где $c = ((q+1)v_0/qW_0) - 1$, $b = q+1$.



Время развития неустойчивости в СВЧ разряде в азоте.

Точки — эксперимент [5], сплошная линия — расчет.

Неустойчивость развивается за время

$$t_n = \frac{b}{W_0 q} \int_0^1 \frac{dy}{1 + cy^{1+1/q}}. \quad (4)$$

Приближенное вычисление интеграла дает

$$t_n \approx \frac{1}{W_0 q} \begin{cases} 1 - \frac{q}{c} \ln \left(\frac{1}{1+c} \right), & c < 0, \\ b, & 0 \leq c < 1, \\ \frac{b}{c} \{c^{1/b} + q(1 - c^{-1/b})\}, & c \geq 1. \end{cases} \quad (5)$$

Оценим времена развития неустойчивости t_n в условиях эксперимента (при $N_0 = 10^{19} \text{ см}^{-3}$, $E_e/N_0 = 6.5 \cdot 10^{-16} \text{ В} \cdot \text{см}^2$ [5]). Принимая значения коэффициентов $W_0 = 10^5 \text{ с}^{-1}$, $\gamma_T = 5.8$, $\gamma_v = -2.4$ [6], $\beta = 5 \cdot 10^{-8} \text{ см}^3/\text{с}$, $\eta_v = 0.8$, $\eta_T = 0.2$, получим $q = 1.8$, $v_0 = 9 \cdot 10^{-8} n_0$ (в условиях [5] $\tau_{vT} \gg t_n$). На рисунке приведены результаты расчета t_n по формуле (5) в зависимости от начальной концентрации электронов n_0 , а также экспериментальные данные [5], полученные для разных времен задержки t_3 между началом ионизующего импульса (излучения кольцевого разряда) длительностью 10 мкс и моментом включения СВЧ генератора в диапазоне $t_3 = 10 - 30$ мкс (при больших t_3 на свойствах плазмы может сказываться ударная волна, приходящая от кольцевого разряда). Видно, что рассчитанный ход зависимости t_n от n_0 хорошо согласуется с экспериментом.

⁴ Используемое значение η_T , полученное в предположении, что при тушении возбужденных электронных состояний N_2 основная доля энергии идет в пропорциональные степени свободы молекул, согласуется с результатами экспериментов [9, 10]. Отметим, что в рассматриваемых условиях время установления квазистационарных концентраций электронно-возбужденных молекул мало по сравнению с t_n .

Список литературы

- [1] Баранов В. Ю., Высикайло Ф. И., Напартович А. П. и др. // Физика плазмы. 1978. Т. 4. № 2. С. 358—365.
- [2] Башаев К. В., Вецко В. М., Жданов С. А. и др. // ДАН СССР. 1979. Т. 249. № 4. С. 832—835.
- [3] Велихов Е. П., Ковалев А. С., Рахимов А. Т. Физические явления в газоразрядной плазме. М.: Наука, 1987.
- [4] Богатов Н. А., Гитлин М. С., Голубев С. В. и др. // ЖТФ. 1987. Т. 57. Вып. 1. С. 194—195.
- [5] Грицинин С. И., Коссый И. А., Силаков В. П. и др. // ЖТФ. 1987. Т. 57. Вып. 4. С. 681—686. Препринт ИОФАН, № 14. М., 1986.
- [6] Мнацаканян А. Х., Найдис Г. В. // Химия плазмы. М.: Энергоатомиздат, 1987. Вып. 14. С. 227—255.
- [7] Башаев К. В., Вецко В. М., Напартович А. П. и др. // ТВТ. 1981. Т. 19. № 2. С. 261—271.
- [8] Найдис Г. В. // ЖТФ. 1982. Т. 52. Вып. 5. С. 868—874.
- [9] Камардин И. Л., Кучинский А. А., Родичкин В. А. и др. // ТВТ. 1983. Т. 21. № 2. С. 224—228.
- [10] Вихарев А. Л., Гитлин М. С., Иванов О. А. и др. // Письма ЖТФ. 1987. Т. 13. Вып. 4. С. 223—226.

Институт высоких температур АН СССР

Поступило в редакцию
17 июня 1988 г.

03; 12

Журнал технической физики, т. 59, в. 8, 1989

РАСПАД МИКРОСТРУЙ ЖИДКОГО МЕТАЛЛА

В. Е. Бадан, В. В. Лиситченко, В. Я. Порицкий

Как показано в работе [1] капиллярный рельеф микроструй, фиксирующихся на поверхности расплава, граничащего с ионным ленгмюровским слоем, после быстрого «замораживания», является результатом возникновения на поверхности жидкости системы микроструй,

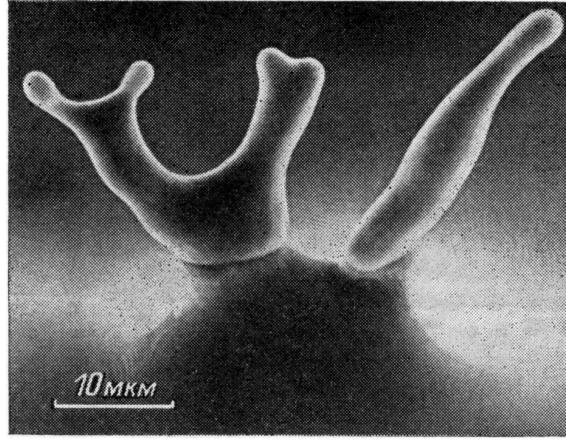


Рис. 1. Микроструя, зафиксированная на поверхности расплава меди в процессе де-ления.

распространяющихся перпендикулярно поверхности со скоростью 10^3 — 10^4 см/с. Характерная длина микроструй 10 — 40 мкм. Цилиндрические микроструи неустойчивы относительно развития перетяжек (неустойчивость Рэлея) [1].

Кроме неустойчивости типа «перетяжек», часто встречается распад микроструй на две—три ветви (рис. 1). В данном сообщении мы рассматриваем некоторые особенности такого де-ления.